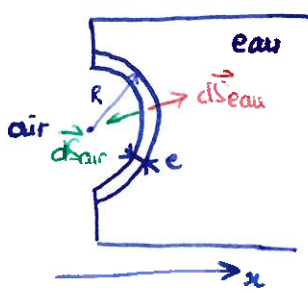


Hydrostatique et capillarité

TD M1 PA

Barrage rotatif



$$R \gg r$$

- deux contributions à la résultante des forces de pression :
- forces de pression dues à l'air
 - forces de pression dues à l'eau

$$\left\{ \begin{array}{l} \vec{dS}_{\text{eau}} = R d\theta dz \vec{e}_r \\ \vec{dS}_{\text{air}} = -R d\theta dz \vec{e}_r \end{array} \right. \quad \begin{array}{l} P_{\text{eau}} = P_0 + \rho g(h-z) \\ P_{\text{air}} = P_0 \end{array}$$

$$\Rightarrow d\vec{F} = -P_{\text{eau}} \vec{dS}_{\text{eau}} - P_{\text{air}} \vec{dS}_{\text{air}}$$

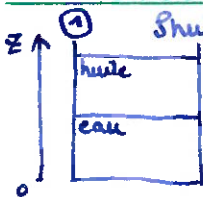
$$d\vec{F} \cdot \vec{e}_x = -P_{\text{eau}} \vec{dS}_{\text{eau}} \cdot \vec{e}_x - P_{\text{air}} \vec{dS}_{\text{air}} \cdot \vec{e}_x$$

$$dF_x = - (P_0 + \rho g(h-z) - P_0) R d\theta dz \cos \theta$$

$$F_x = - \int_0^h \int_{-\pi/2}^{\pi/2} \rho g(h-z) R \cos \theta d\theta dz$$

$$\boxed{F_x = -\rho g R^2 h}$$

Bille de bois à l'interface eau-huile



② Dans l'huile :

$$\frac{\partial p_h}{\partial z} = -\rho_h g \quad p_h = P_0 \text{ en } z = h_n + h_e$$

$$p_h(z) = C_1 - \rho_h g z \quad \text{et} \quad P_0 = C_1 - \rho_h g (h_n + h_e)$$

$$C_1 = P_0 + \rho_h g (h_n + h_e)$$

$$\Rightarrow \boxed{p_h(z) = P_0 + \rho_h g (h_n + h_e - z)}$$

Dans l'eau : $\frac{\partial p_e}{\partial z} = -\rho_e g$ et $p_e(z = h_e) = p_h(z = h_e)$

$$p_e(z) = C_2 - \rho_e g z \quad C_2 - \rho_e g h_e = P_0 + \rho_h g h_n$$

$$C_2 = P_0 + g(\rho_h h_n + \rho_e h_e)$$

$$\boxed{p_e(z) = P_0 + \rho_h g h_n + \rho_e g (h_e - z)}$$

③ on introduit une bille de bois dans le système : $\rho_b < \rho_h < \rho_e$

$$\rho_b = \rho_b V_b \text{ soit } \lambda \text{ la fraction de la bille immersée dans l'eau.}$$

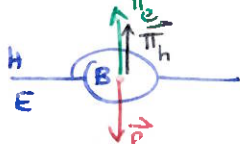
L'équilibre des forces sur la bille donne :

$$\rho_b g \vec{V_b} - \rho_e g \vec{V_b} - \rho_h (1-\lambda) V_b \vec{g} = \vec{0}$$

$$\Leftrightarrow -\rho_b + \rho_e + \rho_h (1-\lambda) = 0$$

$$\Leftrightarrow \lambda (\rho_e - \rho_h) = \rho_b - \rho_h$$

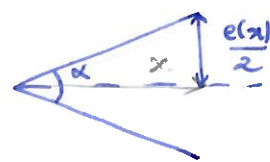
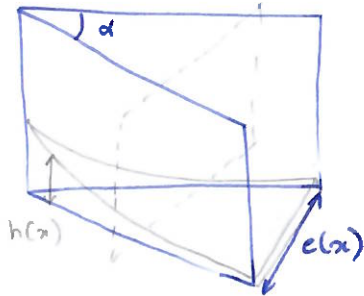
$$\Rightarrow \boxed{\lambda = \frac{\rho_b - \rho_h}{\rho_e - \rho_h}} \quad \lambda = \frac{3}{4}$$



Ascension capillaire dans un dièdre

soit un dièdre placé dans un récipient contenant un liquide de tension de surface γ .

soit $h(x)$ la hauteur de liquide le long du dièdre.



$$\tan\left(\frac{\alpha}{2}\right) = \frac{e}{2x}$$

$$e(x) = 2x \tan\left(\frac{\alpha}{2}\right)$$

Loi de Laplace : $\Delta p = \frac{2\gamma}{R}$ où R est le rayon de courbure.

soit θ l'angle de mouillage du liquide sur la plaque.

$$\cos\theta = \frac{e}{2R}$$

→ pour connaître la forme de la surface libre on calcule la différence de pression entre un point A sous le ménisque et un point B à la base du dièdre :



il pèse sur le point B une hauteur de liquide $h(x)$

$$\Rightarrow P_A = P_0 - \gamma g h(x) \quad P_B = P_0$$

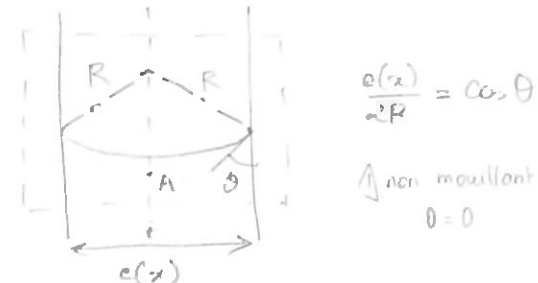
$$P_A - P_B = -\gamma g h(x)$$

On peut également connaître la pression en A sous le ménisque avec la loi de Laplace

la différence de pression entre au dessus du ménisque et au dessous est donnée par : $\Delta p = \frac{2\gamma}{R}$

$$\Rightarrow P_A = P_0 - \frac{2\gamma}{R}$$

$$P_A = P_0 - \frac{R \cos\theta}{e(x)}$$



$$\Rightarrow P_0 - \gamma g h(x) = P_0 - \frac{R \cos\theta}{e(x)}$$

$$\gamma g h(x) = \frac{R \cos\theta}{e(x)}$$

si $\gamma \gg 1$, poids \gg tension de surface

$$h(x) = \frac{R \cos\theta}{2 \gamma g \tan\left(\frac{\alpha}{2}\right)} \frac{1}{x}$$

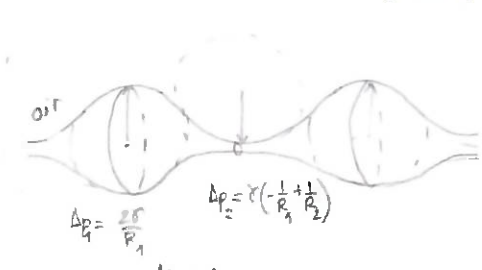
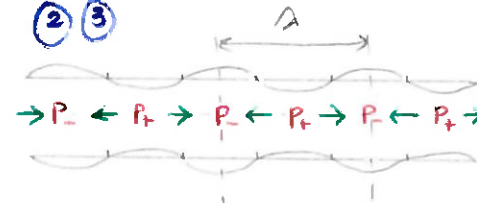
hyperbole

Instabilité de Rayleigh-Plateau

①



② ③



④ conservation de la masse / du volume :

$$V_i = \pi R_0^2 \lambda$$



$$V_p = \int_0^\lambda \pi (R_m + \epsilon \cos(kx))^2 dx$$

$$V_p = \pi \int_0^\lambda [R_m^2 + 2R_m \epsilon \cos(kx) + \epsilon^2 \cos^2(kx)] dx$$

$$V_p = \pi \int_0^\lambda [R_m^2 + 2R_m \epsilon \cos(kx) + \frac{\epsilon^2}{2} + \epsilon^2 \cos(2kx)] dx$$

$$V_p = \pi \left[R_m^2 \lambda + \frac{\epsilon^2}{2} \lambda + 2R_m \frac{\epsilon}{k} \sin(k\lambda) + \frac{\epsilon^2}{4k} \sin(2k\lambda) \right]$$

$$V_p = \pi \left[(R_m^2 + \frac{\epsilon^2}{2}) \lambda + 2R_m \frac{\epsilon}{k} \sin(k\lambda) + \frac{\epsilon^2}{4k} \sin(2k\lambda) \right] \quad \lambda = \frac{2\pi}{k}$$

$$V_p = \pi (R_m^2 + \frac{\epsilon^2}{2}) \lambda$$

$$\sin^2(\tau) = \frac{1 - \cos(2\tau)}{2}$$

$$\text{et } V_i = V_p \Rightarrow \pi R_0^2 \lambda = \pi (R_m^2 + \frac{\epsilon^2}{2}) \lambda$$

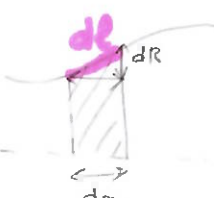
$$R_m = \left(R_0^2 - \frac{\epsilon^2}{2} \right)^{1/2}$$

$$R_m = R_0 \left(1 - \frac{\epsilon^2}{2R_0^2} \right)^{1/2}$$

$$R_m \approx R_0 \left(1 - \frac{\epsilon^2}{4R_0^2} \right)$$

$$\sin^4(\alpha) = \cos^2(\alpha)$$

$$\cos^4(\alpha) = -\sin^2(\alpha)$$

⑤ surface initiale : $S_0 = \pi R_0 \lambda$ surface perturbée : $S_p = 2\pi \int_0^\lambda R(x) dx$ 

$$dl^2 = dx^2 + dr^2$$

$$dl = dx \left[1 + \left(\frac{dr}{dx} \right)^2 \right]^{1/2}$$

$$dl \approx dx \left[1 + \frac{1}{2} \left(\frac{dr}{dx} \right)^2 \right]$$

$$dl \approx dx \left[1 + \frac{1}{2} (-\epsilon k \sin(kx))^2 \right]$$

$$dl = dx \left[1 + \frac{1}{2} \epsilon^2 k^2 \sin^2(kx) \right]$$

$$S_p = 2\pi \int_0^\lambda [R_m + \epsilon \cos(kx)] dx \left[1 + \frac{1}{2} \epsilon^2 k^2 \sin^2(kx) \right]$$

$$S_p = 2\pi \int_0^\lambda [R_m + \frac{R_m \epsilon^2 k^2}{2} \sin^2(kx) + \epsilon \cos(kx) + \frac{\epsilon^3 k^2 \sin^2(kx)}{2 \cos(kx)}] dx$$

$$S_p = 2\pi \int_0^\lambda [R_m + \frac{R_m \epsilon^2 k^2}{2} \left(1 - \frac{\cos^2(kx)}{2} \right) + \epsilon \cos(kx) + \frac{\epsilon^3 k^2 \sin^2(kx) \cos(kx)}{2}] dx$$

$$S_p = 2\pi \left[R_m \lambda + \frac{R_m \epsilon^2 k^2}{4} \lambda - \frac{R_m \epsilon^2 k^2 \sin(2k\lambda)}{8k} + \frac{\epsilon}{k} \sin(k\lambda) + \frac{\epsilon^2 k^2 \sin^2(k\lambda)}{2k^3} \right]$$

$$S_p = 2\pi R_m \lambda \left(1 + \frac{\epsilon^2 \lambda^2}{4} \right)$$

(b) $\ll 1$.

$$\Delta S = S_p - S_0$$

$$\Delta S = 2\pi R_m \lambda \left(1 + \frac{\epsilon^2 \lambda^2}{4} \right) - 2\pi R_0 \lambda$$

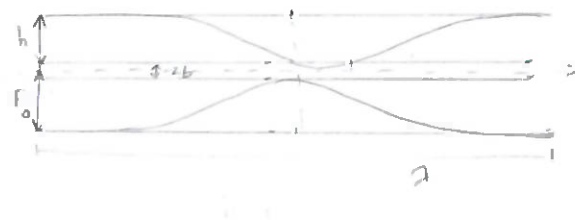
$$\Delta S = 2\pi \lambda \left[R_m - R_0 + \frac{\epsilon^2 \lambda^2}{4} \right] \approx 2\pi \lambda \left[R_m - R_0 \frac{\epsilon^2}{4R_0^2} - \frac{R_0}{2} + \frac{\epsilon^2}{4} R_0 - \frac{\epsilon^2}{4R_0^2} \frac{\pi^2 \epsilon^2}{\lambda^2} \right] \approx 2\pi \lambda \epsilon^2 \left[\frac{R_0 \pi^2}{\lambda^2} - \frac{1}{4R_0} \right]$$

$$\Delta S < 0 \Leftrightarrow \frac{R_0 \pi^2}{\lambda^2} - \frac{1}{4R_0} < 0 \Rightarrow \lambda^2 > 4\pi^2 R_0^2 \Rightarrow \lambda > 2\pi R_0$$

$$\frac{\lambda}{\pi} \approx 2\pi$$

6

$$h = R - b$$



$$S_0 = 2\pi R_0 \lambda$$

$$S_p = 2\pi \int^R_0 h(x) + b \, dx$$

$$S_p = 2\pi \int^R_0 [R_0 + E \cos(kx) + b] \, dx \left[1 + \frac{1}{2} E^2 k^2 \sin^2(kx) \right]$$

$$S_p = 2\pi \int^R_0 \left[R_0 + \frac{E^2 k^2 \sin^2(kx)}{2} + E \cos(kx) + \frac{E^3 k^2 \sin(kx) \cos(kx)}{2} + b + \frac{b E^2 k^2 \sin^2(kx)}{2} \frac{1 - \cos(2kx)}{2} \right] \, dx$$

$$S_p = 2\pi \left[R_0 x + b x + \frac{E^2 k^2 x}{4} + \frac{b E^2 k^2 x}{4} + 0 + 0 + 0 + 0 \right]$$

$$S_p = 2\pi [R_0 \lambda + b \lambda + \frac{E^2 k^2 \lambda}{4} + \frac{b E^2 k^2 \lambda}{4}]$$

$$S_p = 2\pi (R_0 + b) \lambda \left[1 + \frac{E^2 \lambda^2}{\lambda^2} \right]$$

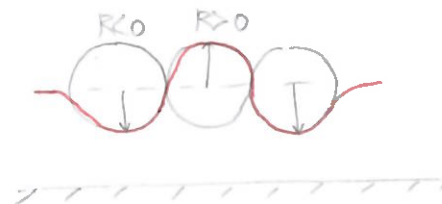
$$S_p - S_0 < 0 \Rightarrow \lambda > 2\pi R$$

Le mécanisme d'instabilité est le même, l'ajout d'un filament change la vitesse de développement
→ plus lent avec le fil.

Cela vient du fait que la pression s'écarte de l'interface non seulement (elle de l'interface extérieure mais aussi de l'interface fibre/liquide)

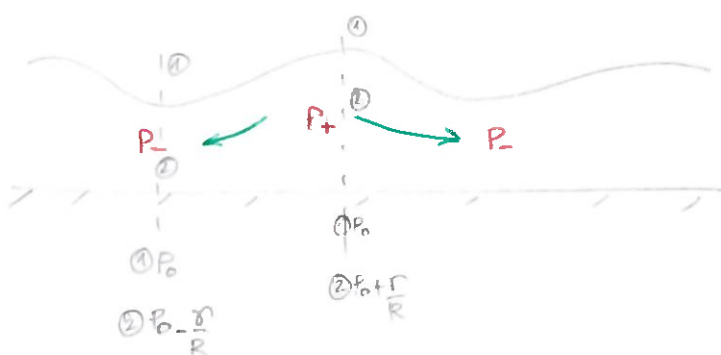
$$C(x) = \frac{1}{b+h} - \frac{\partial h}{\partial x^2}$$

7



$$\Delta p = \sigma \left(\frac{1}{R} + \frac{1}{R'} \right)$$

Rayer de courbure infini dans le plan ⊥ à la feuille



Si la tension de surface a un effet stabilisant, le fluide quitte les bosses pour remplir les crevasses.

